

بررسی ترمودینامیکی فرایند آلومینیم‌دهی تیتانیوم خالص با استفاده از مخلوط پودری*

حمیدرضا کریمی زارچی^(۱) منصور سلطانیه^(۲) محمدرضا ابوطالبی^(۳) شیپینگ گوا^(۴)

چکیده

در این تحقیق، از مخلوط پودری آلومینیم‌دهی حاوی یکی از دو ماده‌ی فعال‌کننده‌ی NaF و NH_4Cl برای آلومینیم‌دهی نمونه‌های تیتانیومی خالص استفاده شد. نتایج نشان دادند که به‌ترتیب لایه‌هایی از جنس $TiAl_3$ ، $TiAl_2$ ، $\gamma-TiAl$ ، α_2-Ti_3Al و محلول جامد آلفا بر روی این نمونه‌ها در هر دو حالت تشکیل می‌شود، اما میزان افزایش وزن نمونه‌ها و ضخامت لایه‌ی $TiAl_3$ به‌هنگام استفاده از ماده‌ی فعال‌کننده‌ی NH_4Cl بیش‌تر از حالتی بود که از NaF استفاده شد. استفاده از یک مدل ترمودینامیکی نشان داد که فشارهای جزئی گازهای حاوی آلومینیم در حالتی که از NH_4Cl استفاده شد، بیش‌تر بود. بنابراین، نتایج مشاهدات فوق‌الذکر توجیه شد.

واژه‌های کلیدی آلومیناید تیتانیوم، آلومینیم‌دهی پودری، مدل ترمودینامیکی، واکنش‌های آلومینیم‌دهی،

Thermodynamic Investigation of Pack Aluminizing Process of Pure Titanium

H. R. Karimi Zarchi M. Soltanieh M. R. Aboutalebi Xiping Guo

Abstract

In this research, aluminizing packs containing NaF and NH_4Cl activators were used for aluminizing of pure titanium samples at $1100\text{ }^\circ\text{C}$. The results showed that the layers of $TiAl_3$, $TiAl_2$, $\gamma-TiAl$, α_2-Ti_3Al , and α -solid solution are formed on titanium samples in both cases. However, the weight gain and the thickness of $TiAl_3$ layer in treated samples with NH_4Cl activator are greater than those when NaF activator is used. Using a thermodynamic model showed that the partial pressures of aluminum-containing gases when NH_4Cl is used are much greater and accordingly, the experimental results were justified.

Key Word Titanium Aluminide, Pack aluminizing, Thermodynamic model, Aluminizing reactions.

* نسخه‌ی نخست مقاله در تاریخ ۹۲/۴/۱۰ و نسخه‌ی پایانی آن در تاریخ ۹۳/۳/۱۲ به دفتر نشریه رسیده است.

(۱) نویسنده مسئول: استادیار، دانشکده مهندسی معدن و متالورژی، دانشگاه یزد

(۲) استاد، دانشکده مهندسی مواد و متالورژی، دانشگاه علم و صنعت ایران

(۳) استاد، دانشکده مهندسی مواد و متالورژی، دانشگاه علم و صنعت ایران

(۴) استاد، آزمایشگاه فرایندهای انجماد، دانشگاه پلی‌تکنیک شمال غرب چین، شیآن، چین

مقدمه

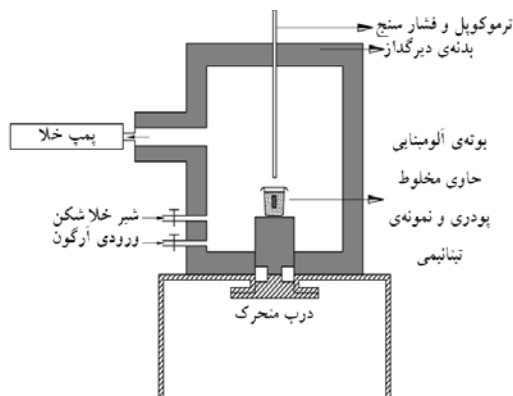
در طول چند دهه‌ی اخیر، تیتانیم و آلیاژهای آن ($T_{\text{Melting}}^{\text{Ti}} = 1670^\circ\text{C}$) به‌عنوان جای‌گزین برای آلیاژهای نیکل ($T_{\text{Melting}}^{\text{Ti}} = 1455^\circ\text{C}$) مطرح شده‌اند، چرا که علاوه بر دمای ذوب بالاتر، به‌اندازه‌ی تقریبی ۴۵ درصد وزنی سبک‌تر از آلیاژهای نیکل می‌باشند [1,2]. با این وجود، به‌دلیل تشکیل لایه‌ی شکننده‌ی اکسید تیتانیم در دماهای بالاتر از 600°C ، مقاومت به اکسایش این آلیاژها از مقاومت به اکسایش نیکل و آلیاژهای آن کم‌تر است [3-5]. به‌همین دلیل، فرایند آلومینیم‌دهی با استفاده از مخلوط پودری شامل ماده‌ی پرکننده (Al_2O_3)، ماده‌ی آلومینیم‌ده (پودر Al) و ماده‌ی فعال‌کننده (NaF و یا NH_4Cl)، یکی از روش‌هایی است که امروزه برای بهبود مقاومت به اکسایش و خوردگی سطح آن‌ها به‌کار رفته است [3,6-8]. استفاده از این فرایند در محدوده‌ی دمایی $800-1200^\circ\text{C}$ موجب تشکیل لایه‌های غنی از آلومینیم در سطح تیتانیم می‌شود. اگر این لایه در معرض محیط اکسیدان و خورنده قرار گیرد، لایه‌ای از اکسید آلومینیم به‌جای اکسید تیتانیم بر روی سطح آن‌ها تشکیل می‌شود. اول آن‌که این لایه نرم‌تر است و چسبندگی بهتری به سطح دارد و دوم آن‌که از نفوذ بیش‌تر اکسیژن و پیش‌روی پدیده‌ی اکسایش در نمونه‌ها جلوگیری می‌کند [9].

افزون بر پوشش‌دهی، از این فرایند برای سنتز اسفنج‌هایی از جنس ترکیب‌های بین فلزی نیکل-آلومینیم با استفاده از پیش‌اسفنج‌های نیکل هم استفاده شده است [10-12].

در فرایند آلومینیم‌دهی مخلوط پودری، ابتدا تمام و یا بخشی از ماده‌ی فعال‌کننده به‌حالت گاز در می‌آید و سپس، با آلومینیم موجود درون مخلوط پودری واکنش می‌کند و هالیدهای فرار آلومینیم را تشکیل می‌دهد. این هالیدها، عامل عمده‌ای در انتقال آلومینیم به سطح قطعه (نمونه‌ی عادی یا اسفنج) می‌باشند [13,14]. لیواین و گاوس [13]، اولین محققانی هستند که با بررسی ترمودینامیکی و سینتیکی این فرایند، به

تبیین واکنش‌هایی که در عملیات آلومینیم‌دهی پودری آلیاژ نیکل IN-100 اتفاق می‌افتند، پرداخته‌اند. این محققان ثابت کرده‌اند که انتقال و نفوذ گازهای مربوط به هالیدهای آلومینیم درون مخلوط پودری حاوی پودر آلومینیم خالص و مواد فعال‌کننده‌ی مختلف NaX و NH_4X (X می‌تواند F، Cl، Br و یا I باشد)، سینتیک افزایش وزن نمونه‌ها در این فرایند را کنترل می‌کنند. پس از آن، سیگل و همکاران با بررسی دقیق‌تر واکنش‌هایی که درون سیستم آلومینیم‌دهی مخلوط پودری نیکل خالص [15,16]، و آلیاژهای Ni-Cr [17]، با استفاده از دو ماده‌ی فعال‌کننده‌ی AlF_3 و NaF اتفاق می‌افتند، مدل سینتیکی لیواین و گاوس را بهبود دادند و ثابت کردند که فشارهای جزئی هالیدهای آلومینیم نقش اصلی را در تعیین میزان آلومینیم منتقل شده به سطح نمونه‌ها دارند. افزون بر این، سیگل و گنداسامی [18,19]، با تحلیل ترمودینامیکی واکنش‌هایی که در فرایند آلومینیم‌دهی نیکل خالص با استفاده از ۴ درصد وزنی پودر آلومینیم و ماده‌ی فعال‌کننده‌ی AlF_3 رخ می‌دهند، نشان داده‌اند که فشارهای جزئی گازهای مختلف درون مجموعه به‌شدت به مقدار ماده‌ی فعال‌کننده‌ی AlF_3 وابسته است، به‌طوری که اگر این ماده به اندازه‌ی کافی درون مخلوط پودری وجود داشته باشد، فاز متراکم شده‌ی آن درون مجموعه پایدار می‌شود و به‌این ترتیب، فشارهای جزئی مستقل از مقدار آن می‌شوند. افزون بر این، نسیری و وندرباگل [20,21]، ترمودینامیک فرایند آلومینیم‌دهی آهن خالص و چند نوع از فولاد را با استفاده از ماده‌ی فعال‌کننده‌ی NH_4Cl بررسی کرده‌اند. آن‌ها با محاسبه‌ی فشارهای گازی، تلاش کرده‌اند تا سینتیک افزایش وزن نمونه‌ها را با استفاده از این فشارهای جزئی تعیین نمایند. کانگ و رپ [22,23]، هم با در نظر قرار دادن ترمودینامیک فرایند آلومینیم‌دهی مخلوط پودری آهن خالص با استفاده از ماده‌ی فعال‌کننده‌ی NaCl درون محیط‌های گاز آرگون و مخلوط گازی آرگون همراه با ۵ درصد گاز هیدروژن در دمای 900°C ، تأثیر گاز هیدروژن در این فرایند را بررسی کرده‌اند.

طرح‌واره‌ای از مجموعه‌ای که برای آلومینیم‌دهی استفاده شد، در شکل (۱) نشان داده شده است. مخلوط پودری و نمونه‌های تیتانیومی پس از آماده‌سازی، درون بوتله‌ی آلومینایی جاسازی شدند و در آن با استفاده از سیمان آلومینایی بسته شد. سپس، بوتله درون کوره قرار داده شد. به‌منظور فراهم کردن یک محیط خنثی برای جلوگیری از اکسایش نمونه‌ها و مخلوط پودری، ابتدا محیط کوره تا فشار 3×10^{-2} Pa با استفاده از دو پمپ مکانیکی دورانی و نفوذی روغنی از هوا تخلیه شد و پس از آن، کوره روشن شد. بخش گرمادهی کوره برای هر آزمون به‌گونه‌ای تنظیم شد تا دمای کوره در مدت زمان یک ساعت به دمای مورد نظر (1100°C) برسد. پس از آن، زمان در نظر گرفته شده برای هر آزمون (۰ تا ۳ ساعت) ثبت شد. افزون بر این، به‌منظور کاهش اثر خوردگی گازهای هالیدی بر دیواره و المنت‌های کوره، مقداری گاز آرگون نوع ۶ در مرحله‌ی پیش‌گرمایش و قبل از فعال شدن ماده‌ی فعال‌کننده به درون کوره تزریق شد، به‌گونه‌ای که فشار آن به $0/19$ اتمسفر رسید. این عمل برای انجام آزمایش با مواد فعال‌کننده‌ی NaF و NH_4Cl ، به‌ترتیب در دماهای 400°C و 350°C انجام شد. با توجه به این‌که آرگون گازی خنثی است و در هیچ‌یک از واکنش‌ها در عملیات آلومینیم‌دهی دخالتی ندارد، بر فشارهای جزئی اجزای گازی تأثیری نداشت و تنها موجب افزایش فشار کل مجموعه شد.



شکل ۱ طرح‌واره‌ای از مجموعه‌ی استفاده شده برای آلومینیم‌دهی نمونه‌های تیتانیومی

با بررسی تمام گزارش‌هایی که در زمینه‌ی ترمودینامیک فرایند مخلوط پودری، ملاحظه می‌شود که تا به‌حال گزارش خاصی در مورد تیتانیم ارائه نشده است و به‌همین دلیل در این پژوهش، بررسی ترمودینامیکی فرایند آلومینیم‌دهی تیتانیم خالص با استفاده از دو ماده‌ی فعال‌کننده‌ی NaF و NH_4Cl ، مورد توجه قرار گرفت. برای این‌منظور، واکنش‌هایی که درون یک مجموعه‌ی بسته هنگام عملیات آلومینیم‌دهی تیتانیم خالص اتفاق می‌افتند، از نقطه نظر ترمودینامیکی تحلیل شده‌اند. افزون بر این، فشارهای جزئی گازهای مختلف درون مجموعه هنگام استفاده از این ماده‌ی فعال‌کننده با به‌کارگیری یک مدل ترمودینامیکی-شیمیایی محاسبه شدند و نتایج به‌دست آمده با یک‌دیگر مقایسه شدند. همچنین، تلاش شده است تا نتایج تجربی اندازه‌گیری شده از جمله تغییرات وزن و ضخامت‌های لایه‌ی TiAl_3 ، با استفاده از این فشارهای جزئی توجیه شوند.

مواد و روش انجام تحقیق

در این تحقیق، از نمونه‌های تیتانیم با خلوص $99/99$ درصد وزنی با ابعاد $8 \times 8 \times 10$ mm استفاده شد. این نمونه‌ها پس از برش‌کاری، به‌وسیله‌ی کاغذسنباده‌های 400 ، 600 و 1000 سنباده‌زنی شدند و سپس، در آستون شسته شدند و در نهایت، به‌مدت زمان 15 دقیقه در تمیزکننده‌ی ماورای صوت قرار داده شدند. نمونه‌ها قبل از استفاده، توسط ترازویی با دقت $\pm 0/001$ گرم وزن شدند و ابعاد آن‌ها هم به‌کمک کولیس اندازه‌گیری شد.

به‌منظور انجام فرایند آلومینیم‌دهی، از 100 گرم مخلوط پودری شامل 85 درصد وزنی پودر آلومینا، 10 درصد وزنی پودر آلومینیم (با خلوص 99 درصد وزنی) و 5 درصد وزنی ماده‌ی فعال‌کننده‌ی NaF یا NH_4Cl استفاده شد. مخلوط پودر پس از وزن شدن اجزای آن، به‌مدت زمان چهار ساعت در آسیای گلوله‌ای همگن شد.

به درون نمونه‌ی تیتانیم نفوذ کرده است و سپس، با آن واکنش داده و منجر به تشکیل لایه‌های مختلف آلومینایدی شده است.

همان‌گونه که در تصویرهای میکروسکوپ الکترونی روبشی با استفاده از الکترون‌های برگشتی شکل (۲-ب) و (۲-ت) مشاهده می‌شود، لایه‌ی α_2 -Ti₃Al قابل مشاهده نیست، ولی تشکیل و حضور آن در نتایج مربوط به آزمون EPMA در همین شکل، ثابت می‌شود. این پدیده به دلیل آن است که محلول جامد آلفا که با لایه‌ی α_2 -Ti₃Al در دمای ۱۱۰۰ °C در تماس و تعادل است، ۲ درصد اتمی کم‌تر آلومینیم دارد (بر اساس نمودار تعادلی Ti-Al در این دما، [24]). این مقدار برای ایجاد تمایز در تصویرهای میکروسکوپ الکترونی روبشی کافی نیست. البته ذکر این نکته لازم است که اگر دمای عملیات آلومینیم‌دهی کاهش یابد و اختلاف تغییرات غلظت تعادلی زیادتر شود، لایه‌ی α_2 -Ti₃Al نیز نمایان می‌شود. این موضوع برای نمونه‌ای که در دمای ۹۵۰ °C به مدت ۶ ساعت در مخلوط پودری حاوی NaF آلومینیم‌دهی شده است، در شکل (۳) نشان داده شده است (اختلاف غلظت اتمی آلومینیم بین Ti₃Al و محلول جامد آلفا در دمای ۹۵۰ °C برابر با ۶ درصد اتمی است [24]).

در تصویرهای شکل‌های (۲) و (۳) ملاحظه می‌شود که ضخامت لایه‌های TiAl₂، γ -TiAl و α_2 -Ti₃Al در مقایسه با لایه‌ی TiAl₃ ناچیز و در عین حال، بسیار کم‌تر است. این پدیده نیز به دلیل آن است که ضریب بین نفوذی ($\bar{D} = X_{Ti} \cdot D_{Al} + X_{Al} \cdot D_{Ti}$) در این لایه‌ها به مراتب کم‌تر از لایه‌ی TiAl₃ می‌باشد. به عنوان مثال، محاسبه‌ی ضریب‌های نفوذ [۲۵]، نشان داده است که ضریب بین نفوذی در TiAl₃ در دمای ۱۱۰۰ °C، تقریباً ۳۱۰ برابر بزرگ‌تر از ضریب بین نفوذی در α_2 -Ti₃Al و ۵۷۰ برابر بزرگ‌تر از ضریب بین نفوذی در γ -TiAl است. از طرف دیگر، با توجه به این که نسبت ضخامت دو لایه از جنس ترکیب بین‌فلزی در حال رشد با نسبت ضریب‌های نفوذ اتمی در آن‌ها متناسب است [۲۶]، ضخامت این لایه‌ها در مقایسه با لایه‌ی TiAl₃ کم‌تر رشد می‌کند.

پس از شروع هر آزمون، فشار کل مجموعه در فاصله‌های زمانی ۱۵ دقیقه توسط فشارسنج ثبت شد. پس از پایان هر آزمون، کوره خاموش می‌شد و اجازه داده می‌شد تا دمای کوره به وسیله‌ی گردش آب تا دمای محیط سرد شود.

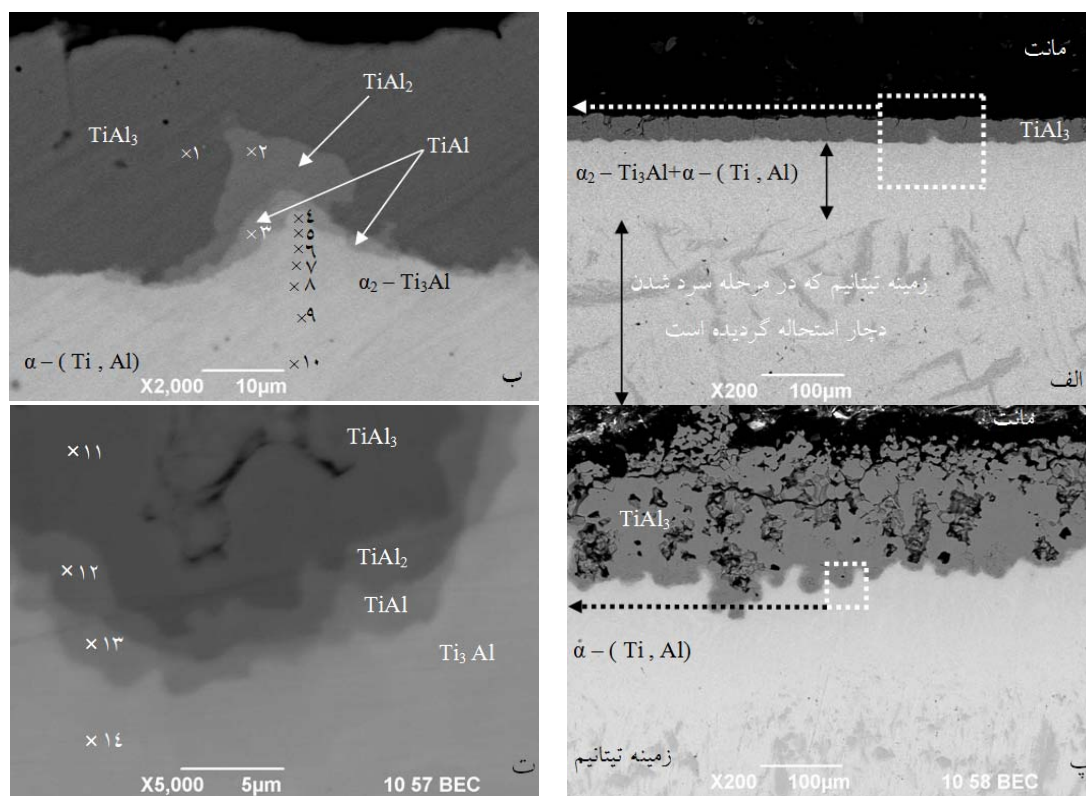
وزن نمونه‌ها پس از خروج از کوره به وسیله‌ی ترازو به دقت اندازه‌گیری شد. ضخامت لایه‌ی آلومینایدی، با استفاده از تصویرهای سطح مقطع میکروسکوپی نمونه‌ها و به کمک نرم‌افزار تحلیل تصویری Clemex Vision (TM) Version 3.5.025 اندازه‌گیری شد. افزون بر این، برای تشخیص فازی لایه‌ی پوشش، آزمون پراش پرتوی ایکس (دستگاه مدل فیلیپس Pananalytical X'pert Pro) انجام شد. برای تحلیل عنصری لایه‌ی پوشش، از دستگاه میکرو آنالیزور الکترون پویشی (EMPA) مدل JEOL استفاده شد.

ثابت‌های تعادل و دیگر داده‌های ترمودینامیکی مورد نیاز برای انجام تحلیل‌های ترمودینامیکی و محاسبه‌ی فشارهای جزئی، با استفاده از نرم‌افزار HSC Chemistry Version 5.11 استخراج شد.

نتایج و بحث

بررسی‌های ریزساختاری

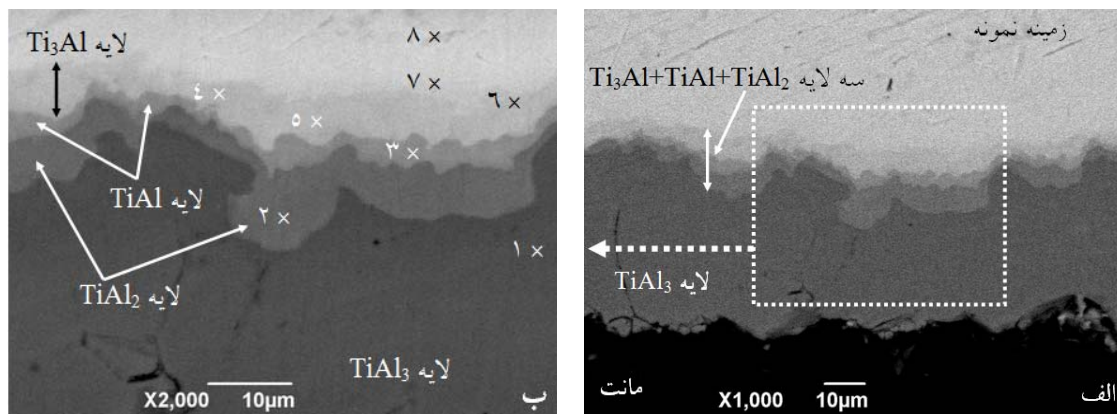
نتایج نشان می‌دهند که بر روی تمام نمونه‌هایی که با استفاده از هر دو ماده‌ی فعال‌کننده‌ی NH₄Cl و NaF آلومینیم‌دهی شده‌اند، به ترتیب لایه‌هایی از جنس TiAl₃، TiAl₂، γ -TiAl و α_2 -Ti₃Al و محلول جامد آلفا تشکیل شده است. به عنوان مثال، ریزساختار نمونه‌های تیتانیم که به مدت زمان ۱ ساعت در دمای ۱۱۰۰ °C آلومینیم‌دهی شده‌اند، در شکل (۲) نشان داده شده است. نتایج نشان می‌دهند که این لایه‌ها حتی در زمان صفر (بلافاصله پس از مرحله‌ی گرمایش در کوره تا دمای ۱۱۰۰ °C) نیز تشکیل شده‌اند. این پدیده این نکته را تأیید می‌کند که بلافاصله پس از فعال شدن ماده‌ی فعال‌کننده در محدوده دمایی ۳۵۰ °C تا ۴۵۰ °C، واکنش‌های تشکیل هالیدهای گازی آلومینیم شروع شده‌اند و این هالیدها، آلومینیم را به سطح قطعه منتقل کرده‌اند. در نتیجه، آلومینیم آزاد شده در سطح



شماره‌ی نقطه	درصد اتمی Al	درصد وزنی Al	فاز پیشنهادی بر اساس نمودار فازی تعادلی
۸	۲۶/۹۷	۱۷/۲۲	Ti ₃ Al
۹	۷۳/۰۳	۸۲/۷۸	
۱۰	۷۹/۱۳	۱۲/۹۴	
۱۱	۲۳/۲۰	۸۷/۰۶	TiAl ₃
۱۲	۳۱/۰۹	۱۱/۱۱	TiAl ₂
۱۳	۴۶/۸۲	۸۷/۸۹	TiAl
۱۴	۷۸/۶۱	۱۳/۲۹	

شماره‌ی نقطه	درصد اتمی Al	درصد وزنی Al	فاز پیشنهادی بر اساس نمودار فازی تعادلی
۱	۷۷/۸۳	۶۶/۴۲	TiAl ₃
۲	۲۹/۳۰	۳۳/۵۸	TiAl ₂
۳	۴۵/۸۱	۵۷/۶۲	TiAl
۴	۵۳/۲۰	۳۹/۹۹	
۵	۵۹/۹۸	۲۷/۳۲	
۶	۶۸/۵۸	۷۲/۶۸	Ti ₃ Al
۷	۷۰/۳۶	۲۰/۵۱	Ti ₃ Al

شکل ۲ تصویرهای میکروسکوپ الکترونی روبشی به‌همراه نتایج آزمون EPMA مربوط به سطح مقطع نمونه‌های آلومینیم‌دهی شده در دمای ۱۱۰۰ °C به‌مدت ۱ ساعت در مخلوط پودری شامل NaF (الف) و (ب) و NH₄Cl (پ) و (ت)



شماره نقطه	درصد اتمی Al درصد وزنی Ti	درصد اتمی Ti درصد وزنی Al	فاز پیشنهادی بر اساس نمودار فازی تعادلی
۵	۲۶/۸۷ ۷۳/۱۳	۱۷/۱۵ ۸۲/۸۵	Ti ₃ Al
۶	۲۱/۸۰ ۷۸/۲۰	۱۳/۵۷ ۸۶/۴۳	محلول جامد Ti ₃ Al و آلفا
۷	۱۶/۴۵ ۸۳/۵۵	۹/۹۸ ۹۰/۰۲	محلول جامد Ti ₃ Al و آلفا
۸	۶/۸۰ ۹۳/۲۰	۳/۹۵ ۹۶/۰۵	محلول جامد آلفا

شماره نقطه	درصد اتمی Al درصد وزنی Ti	درصد اتمی Ti درصد وزنی Al	فاز پیشنهادی بر اساس نمودار فازی تعادلی
۱	۷۶/۸۳ ۲۳/۱۷	۶۵/۱۳ ۳۴/۸۷	TiAl ₃
۲	۶۸/۵۷ ۳۱/۴۳	۵۵/۱۳ ۴۴/۸۷	TiAl ₂
۳	۵۲/۶۸ ۴۷/۳۲	۳۸/۵۴ ۶۱/۴۶	TiAl
۴	۲۷/۵۵ ۷۲/۴۵	۱۷/۶۴ ۸۲/۳۶	Ti ₃ Al

شکل ۳ تصویرهای میکروسکپ الکترونی روبشی به همراه نتایج آزمون EPMA مربوط به سطح مقطع نمونه‌های آلومینیم دهی شده در دمای ۹۵۰ °C به مدت ۶ ساعت در مخلوط پودری شامل NaF

دمای ۱۱۰۰ °C پوشش داده شده بود، به ترتیب برابر با ۱۳۷ و ۱۲۲ میکرومتر به دست آمد، در حالی که ضخامت این لایه‌ها در شرایط مشابه برای ماده‌ی فعال‌کننده‌ی NaF، برابر با ۲۸ و ۸۴ میکرومتر بود.

تغییرات وزن نمونه‌های آلومینیم دهی شده در دمای ۱۱۰۰ °C در مدت زمان یکسان نیز همانند نتایج حاصل از ضخامت سنجی لایه‌ی TiAl₃ در این نمونه‌ها می‌باشد. این به معنی آن است که افزایش وزن نمونه‌های تیتانیم پس از عملیات آلومینیم دهی در حالتی که از ماده‌ی فعال‌کننده‌ی NH₄Cl استفاده شد، بیش از حالتی است که از ماده‌ی فعال‌کننده‌ی NaF استفاده

تغییرات ضخامت لایه‌های TiAl₂، γ-TiAl، و α₂-Ti₃Al به دلیل کوچکی و تغییرات زیاد آن‌ها در نقاط مختلف نمونه، قابل اندازه‌گیری نیست، ولی مجموع ضخامت آن‌ها بین ۵ تا ۱۵ میکرومتر متغیر است. در مقابل، ضخامت لایه‌های TiAl₃ و محلول جامد آلفا قابل اندازه‌گیری است. نتایج اندازه‌گیری‌ها نشان دادند که ضخامت میانگین این لایه‌ها در حالتی که از ماده‌ی فعال‌کننده‌ی NH₄Cl استفاده شد، بیش از حالتی است که از NaF به عنوان ماده‌ی فعال‌کننده استفاده شد. به عنوان مثال، ضخامت این لایه‌ها برای نمونه‌ای که در مخلوط پودری حاوی NH₄Cl به مدت ۱ ساعت در

نیز بیش از حالت مربوط به NaF باشد.

جدول ۱ فشارهای جزئی گازهای مختلف درون مجموعه در دمای ۱۱۰۰ °C که با مدل ترمودینامیکی- شیمیایی محاسبه شده‌اند

فشار اجزای گازی (atm.)			
مربوط به NH ₄ Cl		مربوط به NaF	
P _{AlCl(g)}	۱/۱۰×۱۰ ^{-۱}	P _{AlF(g)}	۸/۵۶×۱۰ ^{-۲}
P _{AlCl₂(g)}	۵/۹۹×۱۰ ^{-۴}	P _{AlF₂(g)}	۱/۶۶×۱۰ ^{-۵}
P _{AlCl₃(g)}	۳/۲۷×۱۰ ^{-۲}	P _{AlF₃(g)}	۴/۵۹×۱۰ ^{-۳}
P _{Al₂Cl₆(g)}	۲/۸۳×۱۰ ^{-۶}	P _{Al₂F₆(g)}	۲/۲۸×۱۰ ^{-۵}
P _{TiCl(g)}	۳/۱۷×۱۰ ^{-۱۲}	P _{TiF(g)}	۷/۳۴×۱۰ ^{-۱۲}
P _{TiCl₂(g)}	۲/۱۴×۱۰ ^{-۸}	P _{TiF₂(g)}	۱/۳۱×۱۰ ^{-۹}
P _{TiCl₃(g)}	۱/۹۵×۱۰ ^{-۷}	P _{TiF₃(g)}	۷/۰۲×۱۰ ^{-۸}
P _{TiCl₄(g)}	۹/۳۶×۱۰ ^{-۱۰}	P _{TiF₄(g)}	۵/۴۹×۱۰ ^{-۱۲}
P _{HCl(g)}	۶/۱۲×۱۰ ^{-۴}	P _{NaF(g)}	۱/۳۲×۱۰ ^{-۳}
P _{H₂(g)}	۴/۱۸۹×۱۰ ^{-۱}	P _{Na₂F₂(g)}	۶/۷۷×۱۰ ^{-۴}
P _{Cl₂(g)}	۱/۲۷×۱۰ ^{-۱۴}	P _{Na(g)}	۹/۸۷×۱۰ ^{-۱}
P _{NH₃(g)}	۱/۱۰×۱۰ ^{-۱۱}	P _{Na₂(g)}	۳/۹۶×۱۰ ^{-۴}
P _{N₂(g)}	۱/۷۱×۱۰ ^{-۱۳}	P _{F₂(g)}	۱/۰۶×۱۰ ^{-۳۰}
P _{Al(g)}	۱/۲۹×۱۰ ^{-۶}	P _{Al(g)}	۱/۲۹×۱۰ ^{-۶}
P _{Ti(g)}	۳/۸۷×۱۰ ^{-۱۵}	P _{Ti(g)}	۳/۸۷×۱۰ ^{-۱۵}
P _{Ar(g)}	۴/۳۳×۱۰ ^{-۱}	P _{Ar(g)}	۳/۸۸×۱۰ ^{-۱}
∑ P _i	۹/۹۵×۱۰ ^{-۱}	∑ P _i	۵/۷۸×۱۰ ^{-۱}

مدل ترمودینامیکی-شیمیایی

استفاده از NaF برای محاسبه‌ی فشارهای اجزای گازی، می‌باید تمام واکنش‌های مستقلی را که درون مجموعه اتفاق افتاده و به تعادل می‌رسند، در نظر گرفت. برای رسیدن به این واکنش‌ها، به‌صورت زیر عمل می‌شود. هنگامی که به مخلوط پودری گرما داده می‌شود، ابتدا NaF به بخار تبدیل می‌شود (واکنش (۱)). سپس، این بخار با پودر آلومینیم موجود در مخلوط پودری تماس برقرار می‌کند و با آن واکنش می‌دهد و به‌این ترتیب، فلوریدهای مختلف آلومینیم تشکیل می‌شوند (واکنش‌های (۲) تا (۵)).

شده است. به‌عنوان مثال، افزایش وزن نمونه‌ی تیتانیم آلومینیم‌دهی شده به‌مدت ۱ ساعت در دمای ۱۱۰۰ °C با استفاده از NH₄Cl، برابر با ۲۷/۵۵ mg/cm² بود و این مقدار بیش‌تر از حالتی است که از NaF به‌عنوان فعال‌کننده (۱۰/۶۰ mg/cm²) استفاده شده است.

به‌منظور پی بردن به علت افزایش بیش‌تر وزن نمونه‌های تیتانیم و ضخیم‌تر بودن لایه‌ی TiAl₃ به‌هنگام استفاده از NH₄Cl نسبت به حالتی که از NaF استفاده شده است، می‌باید اصول ترمودینامیکی مربوط به واکنش‌هایی که درون دستگاه اتفاق می‌افتند، مورد توجه قرار گیرند و فشارهای جزئی گازهای حاوی آلومینیم درون آن محاسبه شوند. فشارهای جزئی تمام اجزای گازی با استفاده از یک مدل ترمودینامیکی- شیمیایی که جزئیات آن در قسمت بعد ارائه شده است، در دمای ۱۱۰۰ °C محاسبه شد و نتایج حاصل در جدول (۱) آورده شده‌اند. نتایج حاصل از به‌کارگیری این مدل نشان می‌دهند که به‌هنگام استفاده از ماده‌ی فعال‌کننده‌ی NH₄Cl، تمام این ماده تجزیه می‌شود و فشارهای جزئی بیش‌تری از کلریدهای آلومینیم را تولید می‌کند. اما، این در حالی است که در مورد ماده‌ی فعال‌کننده‌ی NaF، فقط ۱۹ درصد از آن وارد عمل می‌شود و فلوریدهای آلومینیم را تولید می‌کند. همان‌گونه که در نتایج ارائه شده در جدول (۱) ملاحظه می‌شود، فشارهای جزئی AlCl₃، AlCl₂، AlCl و Al₂Cl₆ درون مجموعه به‌ترتیب به‌میزان ۱/۲۸، ۶۶۱۰، ۲۳/۹ و ۴۸۲۰ برابر فشارهای جزئی مربوط به AlF₃، AlF₂، AlF و Al₂F₆ به‌هنگام استفاده از NaF می‌باشد. در نتیجه، مقدار آلومینیمی که توسط کلریدهای مختلف آلومینیم برای نمونه‌های تیتانیمی مهیا می‌شود، بیش از مقداری است که فلوریدهای آلومینیم به‌هنگام استفاده از NaF برای نمونه‌های تیتانیمی فراهم می‌کنند. از طرف دیگر، فشارهای جزئی بالاتر گازهای حاوی آلومینیم در اطراف نمونه‌های تیتانیم به‌هنگام استفاده از ماده‌ی فعال‌کننده‌ی NH₄Cl، موجب می‌شود تا تخلخل شکل گرفته در لایه‌ی TiAl₃

معادله‌های حاصل از این شرایط در نظر گرفته شوند، ۱۴ معادله با ۱۵ فشار جزئی مجهول به دست می‌آیند. برای حل این دستگاه معادلات، به معادله‌ی دیگری نیاز است. این معادله را می‌توان از قوانین بقای جرم سدیم (رابطه‌ی (۱۵-۱)) و فلئوئور (رابطه‌ی (۱۵-۲)) استخراج نمود.

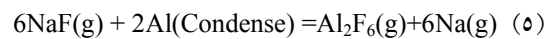
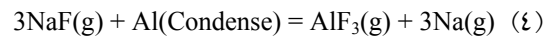
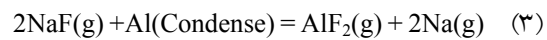
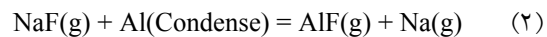
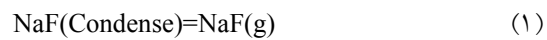
$$M_{Na}^0 = M_{NaF}^0 = M_{NaF(Condense)} + M_{NaF(g)} + M_{Na(g)} + 2M_{Na_2(g)} + 2M_{Na_2F_2(g)} \quad (1-15)$$

در این رابطه، M_{Na}^0 تعداد مول سدیم اولیه، M_{NaF}^0 تعداد مول NaF اولیه، $M_{NaF(Condense)}$ تعداد مول باقی مانده‌ی NaF به صورت فاز متراکم بعد از تشکیل تمام گازها و $M_{i(g)}$ تعداد مول جزء گازی i می‌باشد. این رابطه، به قانون بقای جرم سدیم مربوط است و به این معناست که سدیم اولیه که مقدار آن با ماده‌ی فعال‌کننده‌ی NaF اولیه یکی است، درون مجموعه با اجزای مختلف وارد واکنش‌ها می‌شود. با توجه به این که مجموعه بسته است، مقدار آن می‌باید با تعداد مول سدیم موجود در NaF باقی مانده به صورت متراکم به اضافه‌ی تعداد مول‌های سدیم موجود در گازهای NaF، Na، Na_2 و Na_2F_2 برابر باشد. با به‌کارگیری منطقی مشابه، می‌توان به رابطه‌ی مربوط به قانون بقای جرم عنصر فلئوئور (رابطه‌ی (۱۵-۲)) رسید:

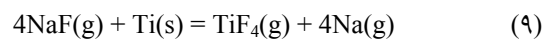
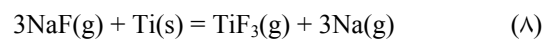
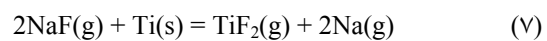
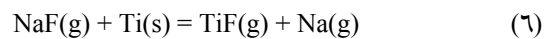
$$M_F^0 = M_{NaF}^0 = M_{NaF(Condense)} + M_{NaF(g)} + 2M_{Na_2F_2(g)} + 2M_{F_2(g)} + M_{AlF(g)} + 2M_{AlF_2(g)} + 3M_{AlF_3(g)} + 6M_{Al_2F_6(g)} + M_{TiF(g)} + 2M_{TiF_2(g)} + 3M_{TiF_3(g)} + M_{TiF_4(g)} \quad (2-15)$$

حال، با مساوی قرار دادن بخش‌های سوم رابطه‌های (۱۵-۱) و (۱۵-۲)، رابطه‌ی (۱۵-۳) نتیجه می‌شود:

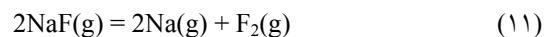
$$M_{Na(g)} + 2M_{Na_2(g)} = 2M_{F_2(g)} + M_{AlF(g)} + 2M_{AlF_2(g)} + 3M_{AlF_3(g)} + 6M_{Al_2F_6(g)} + M_{TiF(g)} + 2M_{TiF_2(g)} + 3M_{TiF_3(g)} + M_{TiF_4(g)} \quad (3-15)$$



از طرف دیگر، بخار NaF با نمونه‌های تیتانیم هم در تماس است و بنابراین، به‌ناچار واکنش بین آن‌ها نیز اتفاق می‌افتد (واکنش‌های (۶) تا (۹)).



واکنش‌های مستقل دیگری که ممکن است بین گازهای به‌وجود آمده در مجموعه رخ دهند، واکنش‌های مربوط به گازهای NaF و Na هستند. این واکنش‌ها مطابق با واکنش‌های (۱۰) تا (۱۲) انجام می‌شوند:



افزون بر این، دو واکنش دیگری که در این مجموعه رخ می‌دهند، مربوط به تبخیر آلومینیم (واکنش (۱۳)) و تصعید نمونه‌ی تیتانیم (واکنش (۱۴)) هستند.



با توجه به این که دما در فرایند آلومینیم دهی بسیار بالاست (۸۰۰ °C تا ۱۲۰۰ °C) و دستگاه هم بسته می‌باشد، واکنش‌های مذکور در مدت زمان کوتاهی به تعادل می‌رسند. به همین دلیل، برای محاسبه‌ی فشارهای اجزای گازی درون مجموعه، از حالت تعادل برای این واکنش‌ها استفاده شد (جدول (۲)). حال اگر

جدول ۲ دستگاه معادلات شامل فشارهای جزئی در مجموعه‌ی آلومینیم‌دهی در حالتی که از

ماده‌ی فعال‌کننده‌ی NaF استفاده شد

شماره	واکنش	شرط تعادل	بازنویسی شرط تعادل
۱	$\text{NaF(Condense)} = \text{NaF(g)}$	$K_{P(1)} = \frac{P_{\text{NaF(g)}}}{a_{\text{NaF}}}$	$P_{\text{NaF(g)}} = K_{P(1)} \cdot a_{\text{NaF}}$
۲	$\text{NaF(g)} + \text{Al(Condense)} = \text{AlF(g)} + \text{Na(g)}$	$K_{P(2)} = \frac{P_{\text{AlF(g)}} \cdot P_{\text{Na(g)}}}{P_{\text{NaF(g)}} \cdot a_{\text{Al}}}$	$P_{\text{AlF(g)}} = \frac{K_{P(2)} \cdot P_{\text{NaF(g)}} \cdot a_{\text{Al}}}{P_{\text{Na(g)}}}$
۳	$2\text{NaF(g)} + \text{Al(Condense)} = \text{AlF}_2\text{(g)} + 2\text{Na(g)}$	$K_{P(3)} = \frac{P_{\text{AlF}_2\text{(g)}} \cdot P_{\text{Na(g)}}^2}{P_{\text{NaF(g)}}^2 \cdot a_{\text{Al}}}$	$P_{\text{AlF}_2\text{(g)}} = \frac{K_{P(3)} \cdot P_{\text{NaF(g)}}^2 \cdot a_{\text{Al}}}{P_{\text{Na(g)}}^2}$
۴	$3\text{NaF(g)} + \text{Al(Condense)} = \text{AlF}_3\text{(g)} + 3\text{Na(g)}$	$K_{P(4)} = \frac{P_{\text{AlF}_3\text{(g)}} \cdot P_{\text{Na(g)}}^3}{P_{\text{NaF(g)}}^3 \cdot a_{\text{Al}}}$	$P_{\text{AlF}_3\text{(g)}} = \frac{K_{P(4)} \cdot P_{\text{NaF(g)}}^3 \cdot a_{\text{Al}}}{P_{\text{Na(g)}}^3}$
۵	$6\text{NaF(g)} + 2\text{Al(Condense)} = \text{Al}_2\text{F}_6\text{(g)} + 6\text{Na(g)}$	$K_{P(5)} = \frac{P_{\text{Al}_2\text{F}_6\text{(g)}} \cdot P_{\text{Na(g)}}^6}{P_{\text{NaF(g)}}^6 \cdot a_{\text{Al}}^2}$	$P_{\text{Al}_2\text{F}_6\text{(g)}} = \frac{K_{P(5)} \cdot P_{\text{NaF(g)}}^6 \cdot a_{\text{Al}}^2}{P_{\text{Na(g)}}^6}$
۶	$\text{NaF(g)} + \text{Ti(s)} = \text{TiF(g)} + \text{Na(g)}$	$K_{P(6)} = \frac{P_{\text{TiF(g)}} \cdot P_{\text{Na(g)}}}{P_{\text{NaF(g)}} \cdot a_{\text{Ti}}}$	$P_{\text{TiF(g)}} = \frac{K_{P(6)} \cdot P_{\text{NaF(g)}} \cdot a_{\text{Ti}}}{P_{\text{Na(g)}}}$
۷	$2\text{NaF(g)} + \text{Ti(s)} = \text{TiF}_2\text{(g)} + 2\text{Na(g)}$	$K_{P(7)} = \frac{P_{\text{TiF}_2\text{(g)}} \cdot P_{\text{Na(g)}}^2}{P_{\text{NaF(g)}}^2 \cdot a_{\text{Ti}}}$	$P_{\text{TiF}_2\text{(g)}} = \frac{K_{P(7)} \cdot P_{\text{NaF(g)}}^2 \cdot a_{\text{Ti}}}{P_{\text{Na(g)}}^2}$
۸	$3\text{NaF(g)} + \text{Ti(s)} = \text{TiF}_3\text{(g)} + 3\text{Na(g)}$	$K_{P(8)} = \frac{P_{\text{TiF}_3\text{(g)}} \cdot P_{\text{Na(g)}}^3}{P_{\text{NaF(g)}}^3 \cdot a_{\text{Ti}}}$	$P_{\text{TiF}_3\text{(g)}} = \frac{K_{P(8)} \cdot P_{\text{NaF(g)}}^3 \cdot a_{\text{Ti}}}{P_{\text{Na(g)}}^3}$
۹	$4\text{NaF(g)} + \text{Ti(s)} = \text{TiF}_4\text{(g)} + 4\text{Na(g)}$	$K_{P(9)} = \frac{P_{\text{TiF}_4\text{(g)}} \cdot P_{\text{Na(g)}}^4}{P_{\text{NaF(g)}}^4 \cdot a_{\text{Ti}}}$	$P_{\text{TiF}_4\text{(g)}} = \frac{K_{P(9)} \cdot P_{\text{NaF(g)}}^4 \cdot a_{\text{Ti}}}{P_{\text{Na(g)}}^4}$
۱۰	$2\text{NaF(g)} = \text{Na}_2\text{F}_2\text{(g)}$	$K_{P(10)} = \frac{P_{\text{Na}_2\text{F}_2\text{(g)}}}{P_{\text{NaF(g)}}^2}$	$P_{\text{Na}_2\text{F}_2\text{(g)}} = K_{P(10)} \cdot P_{\text{NaF(g)}}^2$
۱۱	$2\text{NaF(g)} = 2\text{Na(g)} + \text{F}_2\text{(g)}$	$K_{P(11)} = \frac{P_{\text{Na(g)}}^2 \cdot P_{\text{F}_2\text{(g)}}}{P_{\text{NaF(g)}}^2}$	$P_{\text{F}_2\text{(g)}} = \frac{K_{P(11)} \cdot P_{\text{NaF(g)}}^2}{P_{\text{Na(g)}}^2}$
۱۲	$2\text{Na(g)} = \text{Na}_2\text{(g)}$	$K_{P(12)} = \frac{P_{\text{Na}_2\text{(g)}}}{P_{\text{Na(g)}}^2}$	$P_{\text{Na}_2\text{(g)}} = K_{P(12)} \cdot P_{\text{Na(g)}}^2$
۱۳	$\text{Al(Condense)} = \text{Al(g)}$	$K_{P(13)} = \frac{P_{\text{Al(g)}}}{a_{\text{Al}}}$	$P_{\text{Al(g)}} = K_{P(13)} \cdot a_{\text{Al}}$
۱۴	$\text{Ti(s)} = \text{Ti(g)}$	$K_{P(14)} = \frac{P_{\text{Ti(g)}}}{a_{\text{Ti}}}$	$P_{\text{Ti(g)}} = K_{P(14)} \cdot a_{\text{Ti}}$
۱۵	$P_{\text{Na(g)}} + 2P_{\text{Na}_2\text{(g)}} = 2P_{\text{F}_2\text{(g)}} + P_{\text{AlF(g)}} + 2P_{\text{AlF}_2\text{(g)}} + 3P_{\text{AlF}_3\text{(g)}} + 6P_{\text{Al}_2\text{F}_6\text{(g)}} + P_{\text{TiF(g)}} + 2P_{\text{TiF}_2\text{(g)}} + 3P_{\text{TiF}_3\text{(g)}} + P_{\text{TiF}_4\text{(g)}}$		

$P_{F_2(g)}$ ، $P_{Na_2F_2(g)}$ ، $P_{TiF_4(g)}$ ، $P_{TiF_3(g)}$ ، $P_{TiF_2(g)}$ ، $P_{TiF(g)}$ و $P_{Na_2(g)}$ به صورت توابعی از $P_{Na(g)}$ به دست می آیند. با جای گذاری این فشارها در معادله‌ی (۱۵) در جدول (۲)، معادله‌ای حاصل می شود که $P_{Na(g)}$ تنها متغیر آن است. این معادله را می توان به روش عددی تصنیف یا با روش های عددی دیگر حل کرد. با به دست آمدن $P_{Na(g)}$ ، بقیه‌ی فشارهای جزئی نیز محاسبه می شوند. نتیجه‌ی حل دستگاه معادلات جدول (۲) در دمای $1100^\circ C$ ، در جدول (۱) ارائه شده است. مجموع فشارهای اجزای گازی برابر با $5/78 \times 10^{-1}$ اتمسفر است. فشار کل واقعی اندازه گیری شده برابر با $5/92 \times 10^{-1}$ اتمسفر بود که $2/3$ درصد با مقدار محاسبه شده تفاوت دارد. بنابراین، با توجه به اختلاف ناچیز فشارهای کل، می توان نتیجه گرفت که مدل ترمودینامیکی در محاسبه‌ی فشارهای جزئی صادق است.

ماده‌ی فعال کننده‌ی NH_4Cl اگر تحلیل مشابهی برای حالتی که از ماده‌ی فعال کننده‌ی NH_4Cl استفاده می شود انجام گیرد، معادله‌های جدول (۳) به دست می آیند. جزئیات بیش تر در مورد چگونگی استنتاج این رابطه‌ها، در مراجع [۲۵] و [۲۸] ارائه شده اند. با به کار بردن روشی مشابه با روش حل این دستگاه معادلات، فشارهای جزئی گازهای مختلف در مجموعه‌ی آلومینیم دهی با استفاده از این ماده‌ی فعال کننده محاسبه می شود. نتایج این محاسبات، در جدول (۱) برای دمای $1100^\circ C$ نشان داده شده اند. مجموع فشارهای اجزای گازی برابر با $9/95 \times 10^{-1}$ اتمسفر است. فشار کل واقعی اندازه گیری شده برابر با $10/1 \times 10^{-1} atm$ بود که $1/54$ درصد با مقدار محاسبه شده تفاوت دارد.

اکنون اگر برای اجزای گازی رفتار کامل در نظر گرفته شود (یعنی $P_i \propto M_i$ باشد)، رابطه‌ی (۱۵-۳) را می توان به شکل رابطه‌ی (۱۵) بازنویسی کرد. این رابطه، فشارهای اجزای گازی را درون مجموعه‌ی بسته به هم مرتبط می کند و افزون بر این، به عنوان معادله‌ی مورد نیاز برای حل دستگاه معادلات شامل فشارهای جزئی استفاده می شود.

$$P_{Na(g)} + 2P_{Na_2(g)} = 2P_{F_2(g)} + P_{AlF(g)} + 2P_{AlF_2(g)} + 3P_{AlF_3(g)} + 6P_{Al_2F_6(g)} + P_{TiF(g)} + 2P_{TiF_2(g)} + 3P_{TiF_3(g)} + P_{TiF_4(g)} \quad (15)$$

به منظور حل دستگاه معادلات در جدول (۲)، به مقادیر ثابت تعادل و اکتیویته‌ی اجزای متراکم شده نیاز است. بنابراین، مقادیر ثابت تعادل در دمای $1100^\circ C$ با استفاده از نرم افزار شیمیایی اچ اس سی (HSC Chemistry 5.11) به دست آمد. افزون بر این، اکتیویته‌ی آلومینیم، NH_4Cl و NaF با توجه به خلوص آزمایشگاهی بالای آن‌ها، برابر با ۱ در نظر گرفته شد. هم چنین، اکتیویته‌ی تیتانیم برای سطح نمونه‌های تیتانیم در دمای $1100^\circ C$ ، با استفاده از داده‌های موجود در مرجع [27] و رابطه‌ی گیبس-دوهم، برابر با $1/1 \times 10^{-4}$ محاسبه شد [۲۵]. از طرف دیگر، با توجه به این که دستگاه معادلات فوق‌الذکر دارای درجه‌ی غیرخطی بالایی است، استفاده از روش‌ها و الگوریتم‌های عددی معمول برای حل این دستگاه بی نتیجه است و جواب به دست آمده هم گرا نخواهد شد. بنابراین، برای حل این دستگاه معادلات از یک روش تحلیلی- عددی استفاده شد. برای این منظور، معادله‌های (۱) تا (۱۴) به صورت ستون چهارم جدول (۲) بازنویسی شدند. با این بازنویسی، از یک طرف فشارهای جزئی $P_{Ti(g)}$ ، $P_{Al(g)}$ ، $P_{NaF(g)}$ از معادله‌های (۱)، (۱۳) و (۱۴) محاسبه می شود و از طرف دیگر، فشارهای جزئی $P_{Al_2F_6(g)}$ ، $P_{AlF_3(g)}$ ، $P_{AlF_2(g)}$ ، $P_{AlF(g)}$

جدول ۳ دستگاه معادلات شامل فشارهای جزئی در مجموعه‌ی آلومینیم‌دهی در حالتی که از ماده‌ی فعال‌کننده‌ی NH_4Cl استفاده شد.

شماره	واکنش	شرط تعادل	بازنویسی شرط تعادل
	$\text{NH}_4\text{Cl}(\text{Condense}) = \text{NH}_3(\text{g}) + \text{HCl}(\text{g})$		با توجه به این که ۱۰ گرم ماده‌ی فعال‌کننده در مجموعه وجود دارد، این واکنش به تعادل نمی‌رسد و تمام NH_4Cl تجزیه می‌شود.
۱	$\text{HCl}(\text{g}) + \text{Al}(\text{Condense}) = \text{AlCl}(\text{g}) + 0.5\text{H}_2(\text{g})$	$K_{P(1)} = \frac{P_{\text{AlCl}(\text{g})} \cdot P_{\text{H}_2(\text{g})}^{0.5}}{P_{\text{HCl}(\text{g})} \cdot a_{\text{Al}}}$	$P_{\text{AlCl}(\text{g})} = \frac{K_{P(1)} \cdot P_{\text{HCl}(\text{g})} \cdot a_{\text{Al}}}{P_{\text{H}_2(\text{g})}^{0.5}}$
۲	$2\text{HCl}(\text{g}) + \text{Al}(\text{Condense}) = \text{AlCl}_2(\text{g}) + \text{H}_2(\text{g})$	$K_{P(2)} = \frac{P_{\text{AlCl}_2(\text{g})} \cdot P_{\text{H}_2(\text{g})}}{P_{\text{HCl}(\text{g})}^2 \cdot a_{\text{Al}}}$	$P_{\text{AlCl}_2(\text{g})} = \frac{K_{P(2)} \cdot P_{\text{HCl}(\text{g})}^2 \cdot a_{\text{Al}}}{P_{\text{H}_2(\text{g})}}$
۳	$3\text{HCl}(\text{g}) + \text{Al}(\text{Condense}) = \text{AlCl}_3(\text{g}) + 1.5\text{H}_2(\text{g})$	$K_{P(3)} = \frac{P_{\text{AlCl}_3(\text{g})} \cdot P_{\text{H}_2(\text{g})}^{1.5}}{P_{\text{HCl}(\text{g})}^3 \cdot a_{\text{Al}}}$	$P_{\text{AlCl}_3(\text{g})} = \frac{K_{P(3)} \cdot P_{\text{HCl}(\text{g})}^3 \cdot a_{\text{Al}}}{P_{\text{H}_2(\text{g})}^{1.5}}$
۴	$6\text{HCl}(\text{g}) + 2\text{Al}(\text{Condense}) = \text{Al}_2\text{Cl}_6(\text{g}) + 3\text{H}_2(\text{g})$	$K_{P(4)} = \frac{P_{\text{Al}_2\text{Cl}_6(\text{g})} \cdot P_{\text{H}_2(\text{g})}^3}{P_{\text{HCl}(\text{g})}^6 \cdot a_{\text{Al}}^2}$	$P_{\text{Al}_2\text{Cl}_6(\text{g})} = \frac{K_{P(4)} \cdot P_{\text{HCl}(\text{g})}^6 \cdot a_{\text{Al}}^2}{P_{\text{H}_2(\text{g})}^3}$
۵	$\text{HCl}(\text{g}) + \text{Ti}(\text{s}) = \text{TiCl}(\text{g}) + 0.5\text{H}_2(\text{g})$	$K_{P(5)} = \frac{P_{\text{TiCl}(\text{g})} \cdot P_{\text{H}_2(\text{g})}^{0.5}}{P_{\text{HCl}(\text{g})} \cdot a_{\text{Ti}}}$	$P_{\text{TiCl}(\text{g})} = \frac{K_{P(5)} \cdot P_{\text{HCl}(\text{g})} \cdot a_{\text{Ti}}}{P_{\text{H}_2(\text{g})}^{0.5}}$
۶	$2\text{HCl}(\text{g}) + \text{Ti}(\text{s}) = \text{TiCl}_2(\text{g}) + \text{H}_2(\text{g})$	$K_{P(6)} = \frac{P_{\text{TiCl}_2(\text{g})} \cdot P_{\text{H}_2(\text{g})}}{P_{\text{HCl}(\text{g})}^2 \cdot a_{\text{Ti}}}$	$P_{\text{TiCl}_2(\text{g})} = \frac{K_{P(6)} \cdot P_{\text{HCl}(\text{g})}^2 \cdot a_{\text{Ti}}}{P_{\text{H}_2(\text{g})}}$
۷	$3\text{HCl}(\text{g}) + \text{Ti}(\text{s}) = \text{TiCl}_3(\text{g}) + 1.5\text{H}_2(\text{g})$	$K_{P(7)} = \frac{P_{\text{TiCl}_3(\text{g})} \cdot P_{\text{H}_2(\text{g})}^{1.5}}{P_{\text{HCl}(\text{g})}^3 \cdot a_{\text{Ti}}}$	$P_{\text{TiCl}_3(\text{g})} = \frac{K_{P(7)} \cdot P_{\text{HCl}(\text{g})}^3 \cdot a_{\text{Ti}}}{P_{\text{H}_2(\text{g})}^{1.5}}$
۸	$4\text{HCl}(\text{g}) + \text{Ti}(\text{s}) = \text{TiCl}_4(\text{g}) + 2\text{H}_2(\text{g})$	$K_{P(8)} = \frac{P_{\text{TiCl}_4(\text{g})} \cdot P_{\text{H}_2(\text{g})}^2}{P_{\text{HCl}(\text{g})}^4 \cdot a_{\text{Ti}}}$	$P_{\text{TiCl}_4(\text{g})} = \frac{K_{P(8)} \cdot P_{\text{HCl}(\text{g})}^4 \cdot a_{\text{Ti}}}{P_{\text{H}_2(\text{g})}^2}$
۹	$2\text{NH}_3(\text{g}) = \text{N}_2(\text{g}) + 3\text{H}_2(\text{g})$	$K_{P(9)} = \frac{P_{\text{N}_2(\text{g})} \cdot P_{\text{H}_2(\text{g})}^3}{P_{\text{NH}_3(\text{g})}^2}$	$P_{\text{NH}_3(\text{g})} = \sqrt{K_{P(9)} \cdot P_{\text{N}_2(\text{g})} \cdot P_{\text{H}_2(\text{g})}^3}$
۱۰	$2\text{HCl}(\text{g}) = \text{H}_2(\text{g}) + \text{Cl}_2(\text{g})$	$K_{P(10)} = \frac{P_{\text{H}_2(\text{g})} \cdot P_{\text{Cl}_2(\text{g})}}{P_{\text{HCl}(\text{g})}^2}$	$P_{\text{Cl}_2(\text{g})} = \frac{K_{P(10)} \cdot P_{\text{HCl}(\text{g})}^2}{P_{\text{H}_2(\text{g})}}$
۱۱	$\text{N}_2(\text{g}) + 2\text{Al}(\text{Condense}) = 2\text{AlN}(\text{s})$	$K_{P(11)} = \frac{1}{P_{\text{N}_2(\text{g})} \cdot a_{\text{Al}}^2}$	$P_{\text{N}_2(\text{g})} = \frac{1}{K_{P(11)} \cdot a_{\text{Al}}^2}$
۱۲	$\text{Al}(\text{Condense}) = \text{Al}(\text{g})$	$K_{P(12)} = \frac{P_{\text{Al}(\text{g})}}{a_{\text{Al}}}$	$P_{\text{Al}(\text{g})} = K_{P(12)} \cdot a_{\text{Al}}$
۱۳	$\text{Ti}(\text{s}) = \text{Ti}(\text{g})$	$K_{P(13)} = \frac{P_{\text{Ti}(\text{g})}}{a_{\text{Ti}}}$	$P_{\text{Ti}(\text{g})} = K_{P(13)} \cdot a_{\text{Ti}}$
۱۴	$M_{\text{NH}_4\text{Cl}}^0 \cdot \frac{R \cdot T}{V} = 2P_{\text{H}_2(\text{g})} + P_{\text{HCl}(\text{g})} + 3P_{\text{NH}_3(\text{g})}$		
۱۵	$M_{\text{NH}_4\text{Cl}}^0 \cdot \frac{R \cdot T}{V} = P_{\text{HCl}(\text{g})} + P_{\text{AlCl}(\text{g})} + 2P_{\text{AlCl}_2(\text{g})} + 3P_{\text{AlCl}_3(\text{g})} + 6P_{\text{Al}_2\text{Cl}_6(\text{g})} + P_{\text{TiCl}(\text{g})} + 2P_{\text{TiCl}_2(\text{g})} + 3P_{\text{TiCl}_3(\text{g})} + 4P_{\text{TiCl}_4(\text{g})} + 2P_{\text{Cl}_2(\text{g})}$		

نتیجه گیری

- سرعت کند نفوذ اتمی در این ترکیبات باشد.
- ۳- مدلی مبتنی بر شرایط تعادل ترمودینامیکی و قانون بقای جرم برای محاسبه فشارهای جزئی گازهای مختلف درون مجموعه‌ی بسته‌ی آلومینیم‌دهی استفاده شد. نتایج حاصل از این مدل نشان دادند که فشارهای جزئی گازهای $AlCl$ ، $AlCl_2$ ، $AlCl_3$ و Al_2Cl_6 به ترتیب $۱/۲۸$ ، ۶۶۱۰ ، $۲۳/۹$ و ۴۸۲۰ برابر بیش از فشارهای جزئی گازهای AlF ، AlF_2 ، AlF_3 و Al_2F_6 است. به همین دلیل، میزان افزایش وزن نمونه‌ها و ضخامت لایه‌ی $TiAl_3$ در حالتی که از NH_4Cl استفاده شد، بیش تر بود.
- ۱- آلومینیم‌دهی نمونه‌های تیتانیم خالص در دمای $۱۱۰۰^{\circ}C$ درون مخلوط پودری شامل ۸۵ درصد اکسید آلومینیم، ۱۰ درصد پودر آلومینیم و ۵ درصد ماده‌ی فعال‌کننده (NH_4Cl یا NaF)، منجر به تشکیل لایه‌های غنی از آلومینیم به ترتیب $TiAl_3$ ، $TiAl_2$ ، $TiAl$ و Ti_3Al و محلول جامد آلفا بر روی این نمونه‌ها شد.
- ۲- مشاهدات ریزساختاری نشان دادند که لایه‌های $TiAl_3$ ، $TiAl$ و Ti_3Al ضخامت کم‌تری نسبت به لایه‌ی $TiAl_3$ دارند. این پدیده ممکن است به دلیل

مراجع

- Leyens, C. and Peters, M., "Structure and properties of titanium and titanium alloys, Wiley- VCH, pp. 1-27, (2003).
- Lutjering, G. and William, J. C., "Titanium", Springer, pp. 13-50, (2003).
- Subrahmanyam, J. and Annapurna, J., "High temperature cyclic oxidation of aluminide layers on titanium", Oxidation of Metals, Vol. 26, pp. 275-285, (1986).
- Deqing, W., Ziyuan, S. and Yingli, T., "Microstructure and oxidation of hot-dip aluminized titanium at high temperature", Applied Surface Science, Vol. 250, pp. 238-246, (2005).
- Qian, Y.-H., Li, M.-S. and Lu, B., "Isothermal oxidation behavior of Ti_3Al -based alloy at 700–1000 °C in air", Transactions of Nonferrous Metals Society of China, Vol. 19, pp. 525-529, (2009).
- Zhou, C. G., Xu, H. B. and Gong, S. K., "Study on aluminide coatings on $TiAl$ alloys by pack cementation method", Acta Metallurgica Sinica (English Letters), Vol. 13, pp. 1148-1154, (2000).
- Gurrappa, I. and Gogia, A. K., "High performance coatings for titanium alloys to protect against oxidation", Surface and Coatings Technology, Vol. 139, pp. 216-221, (2001).
- Zhou, C., Xu, H., Gong, S. and Young Kim, K., "A study of aluminide coatings on $TiAl$ alloys by the pack cementation method", Materials Science and Engineering A, Vol. 341, pp. 169-173, (2003).
- Subrahmanyam, J., "Cyclic oxidation of aluminized $Ti-14Al-24Nb$ alloy", *Journal of Materials Science*, Vol. 23, pp. 1906-1910, (1988).
- Hodge, A. M. and Dunand, D. C., "Synthesis of nickel–aluminide foams by pack-aluminization of nickel foams", Intermetallics, Vol. 9, pp. 581-589, (2001).
- Dunand, D. C., Hodge, A. M. and Schuh, C., "Pack aluminisation kinetics of nickel rods and foams",

- Materials Science and Technology, Vol. 18, pp. 326-332, (2002).
12. Choe, H. and Dunand, D. C., "Synthesis, structure, and mechanical properties of Ni-Al and Ni-Cr-Al superalloy foams", *Acta Materialia*, Vol. 52, pp. 1283-1295, (2004).
 13. Levine, S. R. and Caves, R. M., "Thermodynamic and kinetics of pack aluminide coating formation on IN-100", *Journal of the Electrochemical Society*, Vol. 121, pp. 1051-1064, (1974).
 14. Seigle, L. L., "Thermodynamics and kinetics of pack cementation processes.", *Journal*, Vol. pp. 345-369, (1984).
 15. Gupta, B. K., Sarkhel, A. K. and Seigle, L. L., "On the kinetics of pack aluminization", *Thin Solid Films*, Vol. 39, pp. 313-320, (1976).
 16. Sivakumar, R. and Seigle, L. L., "On the kinetics of the pack-aluminization process", *Metallurgical Transactions A*, Vol. 7 A, pp. 1073-1079, (1976).
 17. Tu, D. C. and Seigle, L. L., "Kinetics of formation and microstructure of aluminide coatings on Ni-Cr alloys", *Thin Solid Films*, Vol. 95, pp. 47-56, (1982).
 18. Kandasamy, N., Seigle, L. L. and Pennisi, F. J., "The kinetics of gas transport in halide-activated aluminizing packs", *Thin Solid Films*, Vol. 84, pp. 17-27, (1981).
 19. Kandasamy, N., "Erratum: The kinetics of gas transport in halide-activated aluminizing packs ", *Thin Solid Films*, Vol. 503, pp. 277-278, (2006).
 20. Nciri, B. and Vandenbulcke, L., "Thermodynamic study of the aluminizing of the iron and alloy steels by thermochemical technique", *Journal of the Less Common Metals*, Vol. 95, pp. 55-72, (1983).
 21. Nciri, B. and Vandenbulcke, L., "Theoretical and experimental study of the aluminization of iron and steel in the pack and in the gas phase", *Thin Solid Films*, Vol. 139, pp. 311-324, (1986).
 22. Kung, S. C. and Rapp, R. A., "Fundamental kinetic study of aluminization of iron by pack cementation at 900°C", *Surface and Coatings Technology*, Vol. 32, pp. 41-56, (1987).
 23. Kung, S. C. and Rapp, R. A., "kinetic study of aluminization of iron by using the pack cementation technique", *Journal of The Electrochemical Society*, Vol. 135, pp. 731-741, (1987).
 24. Raghavan, V., "Ti-Al phase Diagram", *Journal of phase equilibrium and diffusion*, Vol. 26, pp. 171-172, (2005).
۲۵. کریمی زارچی، ح. ر.، "بررسی تشکیل آلومیناید تیتانیم از طریق آلومینایزینگ گازی"، دانشکده مهندسی مواد و متالورژی، دانشگاه علم و صنعت ایران، (۱۳۹۲).
۲۶. میرجلیلی، م.، "مکانیزم و سینتیک تشکیل ترکیبات بین فلزی در زوج نفوذی آلومینیوم-تیتانیم"، دانشکده مهندسی مواد و متالورژی، دانشگاه علم و صنعت ایران، (۱۳۹۱).
27. Eckert, M., Bencze, L., Kath, D., Nickel, H. and Hilpert, K., "Thermodynamic activities in the alloys

- of the Ti-Al system", Physical Chemistry Chemical Physics, Vol. 100, pp. 418-424, (1996).
28. Karimi Zarchi, H. R., Soltanieh, M., Aboutalebi, M. R. and Guo, X., "Thermodynamic study on pack aluminizing systems of pure titanium and nickel", Transactions of Nonferrous Metals Society of China, Vol. 23, pp. 1838-1846, (2013).
-